

## بررسی پاسخ‌های پیچشی ساختمان‌های نام مقارن با استفاده از میراگر جرمی تنظیمی

امیرحسن محمدی (کارشناس ارشد)  
عبدالرضا سروقد مقدم (استادیار)  
بزوہشگاه بنی‌المملک زلزله شناسی و مهندسی زلزله

یکی از اثرات زلزله بر ساختمان‌ها پدیده‌ی پیچش است. راهبردهای گوناگونی به منظور کاهش این اثر راهه شده‌اند که یکی از آنها کنترل سازه‌ها با کمک میراگرهایی نظری میراگر جرمی تنظیمی است. تحقیقاتی که برای کنترل پدیده‌ی پیچش با استفاده از این میراگر شده عموماً مبتنی بر استفاده از چند میراگر بوده است. در این بررسی یک نوع میراگر جرمی تنظیمی غیرفعال برای کنترل پیچش در ساختمان‌های نام مقارن تک محوره که تحت تحریک زلزله قرار می‌گیرند پیشنهاد شده است. بدین ترتیب که سختی و میزان این سیستم، به دو فنر و دو میراگر تقسیم شده، بر لبه‌های نرم و سخت ساختمان قرار می‌گیرند تا اثر میراگر به پیامون ساختمان منتقل شود. نتایج حاصل از تحلیل هفت زلزله‌ی حوزه‌ی دور نشان‌گر این است که سیستم پیشنهادی قابلیت کاهش پیچش ساختمان را داشته، بهویژه بر کاهش تعییز مکان نسبی لبه‌ی نرم اثر آشکارتری دارد.

واژگان کلیدی: میراگر جرمی تنظیمی، پیچش، ساختمان نام مقارن، لبه‌ی نرم و سخت، کنترل غیرفعال.

### مقدمه

امتداد متعماد حرکت می‌کند و بر بام ساختمان برشی نصب شده‌اند (با خروج از مرکزیت بکسان برای تمام طبقات) استفاده شد.<sup>[۱]</sup> یکی از نتایج این بررسی آن است که با دو جرم مساوی کاهش ارتعاشات بیشتر است، و نیز هرچه فاصله‌ی میراگرها از مرکز جرم بام بیشتر باشد کاهش ارتعاشات بیشتر خواهد بود. نتایج نظری با یافته‌های حاصل از تحلیل با پنج شتاب‌نگاشت ال ستترو، تفت، سن فرناندو، مکزیکوسیتی و کوبه که به ۳۵٪ مقیاس شده بودند، تطابق داشت.

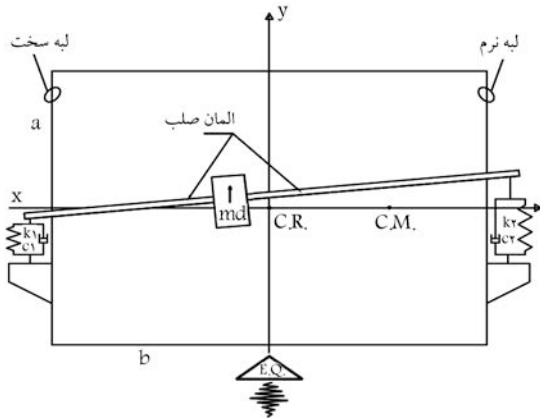
در سال ۲۰۰۲ به منظور کنترل پاسخ‌های همبسته‌ی جانبی - پیچشی از چهار میراگر جرمی که دو به دو در دو امتداد متعماد حرکت می‌کنند و بر بام یک ساختمان چند طبقه‌ی پیچشی قرار داشتند، استفاده شد.<sup>[۲]</sup> این بررسی متأثر از دو تحقیق پیش‌گفته، و در دسته مطالعات با کاربرد چند میراگر قرار می‌گیرد. پارامترهای بهینه‌ی طرح به کمک الگوریتم ژنتیک بدست آمدند.

در سال ۲۰۰۳ نیز از چهار میراگر جرمی تنظیمی که در اطراف مرکز جرم بام فرازگرفته‌اند استفاده شد تا ضمن کنترل مودهای ارتعاشی خمشی، مودهای ارتعاشی پیچشی را نیز کنترل کنند.<sup>[۳]</sup> در این تحقیق هم برای تعیین طرح بهینه‌ی سیستم جاذب از الگوریتم ژنتیک استفاده شد. تحریک ورودی چهار زلزله‌ی ال ستترو، کوبه، هاچینووه و نورتربیج بودند. نتایج این بررسی نشان می‌دهد که این راهبرد کنترلی علاوه بر پاسخ‌های خمشی سازه، قابلیت کنترل مؤثر پاسخ‌های پیچشی را نیز دارد. در تحقیقات داخلی سال ۱۳۸۳، با هدف کاهش پاسخ‌های جانبی ساختمان‌ها (خطی و غیرخطی) مدل شده در نرم افزار درین، نسبت به جداسازی بام اقدام به عمل آمد<sup>[۴]</sup> و در نهایت نشان داده شد که ایده‌ی جداسازی بام در کاهش

در تحقیقات مختلف نشان داده شده است که میراگرهای جرمی تنظیمی از جمله اجزای کنترل سازه‌اند که در محدوده‌ی رفتار ارجاعی و در حالت تشید با سازه عملکرد بسیار خوبی در کاهش تغییر مکان‌های جانبی و جذب ارتعاشات ساختمان‌ها از خود نشان داده‌اند؛ به طوری که در سراسر جهان و برای نمونه‌های متعدد و قابل توجهی به کار گرفته شده‌اند. ساختار عمومی این میراگر متشکل از جرم، فنر و میراگر لزج است که بر حسب نیازهای مختلف تغییراتی در اجراء آن پیشنهاد و اجرا شده است. تحقیقات و کاربردهای این میراگر عموماً برای تحریک باد بوده است در حالی که برای استفاده از آنها در کاربردهای زلزله‌ی اتفاق نظری به چشم نمی‌خورد. تحقیقات بسیاری در مورد این میراگرها به منظور کنترل حرکات جانبی ساختمان بدون در نظر گرفتن اثر پیچش انجام شده است. در عین حال تحقیقات محدود ولی ارزشمندی در زمینه ساختمان‌های نام مقارن انجام شده که با اختصار به برخی از آنها اشاره می‌شود.

در سال ۱۹۹۷، بر یک سیستم دو درجه آزادی (جانبی و پیچشی) که تحت تحریک اغتشاش سفید واقع شده بود، تعداد ۲۱ میراگر جرمی تنظیمی (با سختی و نسبت میراگر ثابت ولی جرم‌های مقاوت) قرار داده شد و آن را به صورت پارامتریک بررسی کردند.<sup>[۵]</sup> یکی از نتایج این بررسی آن است که سیستم نام مقارن مفروض چنانچه چند میراگر باشد عملکرد بهتری از میراگر منفرد دارد. همچنین با افزایش خروج از مرکزیت، مزیت نسبی چند میراگر در مقایسه با میراگر منفرد کم می‌شود. در تحقیقات سال ۱۹۹۹، به منظور کنترل پیچش از دو میراگر جرمی که در دو

تاریخ: دریافت ۲۸/۰۷/۱۳۸۷، داوری ۳/۰۷/۱۳۸۷، پذیرش ۱۲/۸/۱۳۸۸.



شکل ۱. طرح شماتیک سیستم میراگر جرمی تنظیمی غیر فعال پیشنهادی.

جرمی تنظیمی (TMD)<sup>۲</sup> اغلب تابیخ حاکی از این هستند که مناسب‌ترین نسبت جرم میراگر به جرم مود کنترل شونده‌ی سازه و نسبت میرایی میراگر به ترتیب بین ۱ تا ۴ درصد و ۳۰ تا ۲۰ درصد هستند. همچنین نسبت فرکانس میراگر به فرکانس مود تنظیم‌شونده بین ۰/۹ و ۱ در تغییر است. البته این مقادیر برای شرایط مختلف ممکن است متفاوت باشد. بنابراین با استناد به نتایج به دست آمده در تحقیقات گذشته، نسبت‌های جرمی ( $m_d$ ) و فرکانسی ( $f$ ) و میرایی ( $c_d$ ) میراگر جرمی تنظیم‌شونده شده استفاده می‌شود. بدین ترتیب که این میراگر برای مود اول ساختمان نامتعارن تنظیم شده و مقادیر جرم ( $m_d$ ), سختی ( $k_d$ ) و میرایی ( $c_d$ ) آن به دست می‌آیند.

آنگاه برای این که اثر جرم و فنر و میرایی به هر دو لبه‌ی نرم و سخت منتقل شود، فنر و میرایی آن به دو جزء فنر و دو جزء میرایی کوچک‌تر تقسیم می‌شود. بنابراین سیستم میراگر جرمی تنظیمی پیشنهادی در این بررسی مشکل خواهد بود از جرم ( $m_d$ ), یک فنر و میرایی جزئی ( $k_1, c_1$ ) روی لبه‌ی سخت، و یک فنر و میرایی جزئی ( $k_2, c_2$ ) که روی لبه‌ی نرم قرار می‌گیرند (شکل ۱). مجموع سختی دو فنر میرایی کل ( $c_d$ ) آن سیستم میراگر جرمی تنظیمی منفرد اولیه است. با این فرض که تمام قسمت‌های این سیستم با یک رابط صلب به یکدیگر متصل‌اند تا اثر آن جرم و فنرها و میرایی‌ها به دو لبه‌ی سخت و نرم منتقل شوند، سیستم مذکور روی یام ساختمان قرار می‌گیرد.

$$k_d = m_d(f\omega_{1b})^2 \quad (1)$$

نسبت میرایی میراگر منفرد غیر فعال اولیه ( $c_d$ ) برای تعیین ضریب میرایی آن، برابر با ۲۷ درصد فرض شد. ضریب میرایی کل سیستم میراگر جرمی تنظیمی منفرد اولیه از رابطه‌ی ۲ به دست می‌آید:

$$c_d = 2m_d(f\omega_{1b})\xi_d \quad (2)$$

در روابط یادشده  $\omega_{1b}$  فرکانس مود اول ساختمان نامتعارن است. برخی از مشخصات دینامیکی ساختمان‌های مورد مطالعه و میراگرها در جداول ۱ تا ۳ ارائه شده‌اند. از آنجا که میراگر جرمی تنظیمی در این بررسی فقط با مود اول هر ساختمان نامتعارن تنظیم شده و مود اول نیز در امتداد  $y$  است، طبیعی است که در سایر مودها و بهویژه مودهای ارتعاشی راستای  $x$  که با میراگر هماهنگ نیستند تغییری ایجاد

#### جدول ۱. مشخصات سیستم میراگر جرمی تنظیمی منفرد اولیه و ساختمان‌های نامتعارن.

ساختمان نامتعارن با خروج از مرکزیت (%)	مشماره‌ی مود	$\omega$ (r/sec)	جرم مؤثر مودی Kgf.s <sup>2</sup> /m	$m_d$ kgf.s <sup>2</sup> /m	$k_d$ kgf/m	$c_d$ kgf.s/m
۰	۱	۱۰,۹۱۶	۱۶۷۷۳	۵۰۳	۵۵۲۳۴	۲۸۴۷
۱۰	۱	۱۰,۵۷۶	۱۵۹۱۲	۴۷۷	۴۹۱۷۴	۲۶۱۵
۲۰	۱	۹,۸۳۶	۱۴۸۵۵	۴۴۶	۳۹۷۶۳	۲۲۷۴
۳۰	۱	۹,۰۹۴	۱۴۸۱۶	۴۴۵	۳۳۹۱۳	۲۰۹۸

پاسخ‌های جانی محدوده‌ی رفتار غیرخطی نیز موفق است. در سال ۱۳۸۴ نیز با تأکید بر کاهش پیچش در محدوده‌ی رفتار غیرخطی (و البته خطی) برای دو ساختمان فولادی ۸ و ۱۵ طبقه با کمک دو میراگر جرمی،<sup>[۶]</sup> این نتیجه‌ی کلی به دست آمد که تفاوت تأثیر یک یا دو میراگر بر کاهش پاسخ‌ها خیلی چشمگیر نیست.

از مطالعه‌ی تحقیقات یادشده نکات قابل توجهی دریافت می‌شود. اکثر این تحقیقات درمورد کنترل پیچش بوسیله‌ی میراگر جرمی تنظیمی، در محدوده‌ی رفتار غیرخطی سازه‌ها بوده‌اند؛ زیرا تأثیر مثبت این میراگر به دلیل تغییر فرکانس در محدوده‌ی رفتار غیرخطی و موقع پدیده‌ی ناتنظیمی مجموعه‌ی سازه- میراگر کاهش می‌یابد. تعاقب بیشتر این تحقیقات به کاربردهای زلزله بیان‌گر آن است که اگرچه زلزله به دلیل کوتاه بودن زمان وقوع و عدم ایجاد تشید مناسب با سازه، تحریک مناسبی برای سیستم‌های دارای میراگر جرمی تنظیمی محسوب نمی‌شود، این میراگر در تحقیقات مذکور عملکرد مثبتی داشته است.

#### معرفی سیستم میراگر استفاده شده در این تحقیق

در این بررسی از یک میراگر جرمی تنظیمی منفرد غیرفعال که در آن تعییراتی داده شده استفاده می‌شود. بدین ترتیب که این میراگر برای مود اول ساختمان نامتعارن تنظیم شده و مقادیر جرم ( $m_d$ ), سختی ( $k_d$ ) و میرایی ( $c_d$ ) آن به دست می‌آیند. آنگاه برای این که اثر جرم و فنر و میرایی به هر دو لبه‌ی نرم و سخت منتقل شود، فنر و میرایی آن به دو جزء فنر و دو جزء میرایی کوچک‌تر تقسیم می‌شود. بنابراین سیستم میراگر جرمی تنظیمی پیشنهادی در این بررسی مشکل خواهد بود از جرم ( $m_d$ )، یک فنر و میرایی جزئی ( $k_1, c_1$ ) روی لبه‌ی سخت، و یک فنر و میرایی جزئی ( $k_2, c_2$ ) که روی لبه‌ی نرم قرار می‌گیرند (شکل ۱). مجموع سختی دو فنر میرایی کل ( $c_d$ ) آن سیستم میراگر جرمی است. با این فرض که تمام قسمت‌های این سیستم با یک رابط صلب به یکدیگر متصل‌اند تا اثر آن جرم و فنرها و میرایی‌ها به دو لبه‌ی سخت و نرم منتقل شوند، سیستم مذکور روی یام ساختمان قرار می‌گیرد.

از آنجا که هدف کنترل و کاهش حرکت جانی - پیچشی ساختمان است باید پارامترهای این سیستم در بهترین حالت به دست آیند. این پارامترها عبارت‌اند از: نسبت جرمی، نسبت فرکانسی، نسبت میرایی، محل جرم روی پلان، محل مرکز توزیع سختی و محل مرکز توزیع میرایی این سیستم روی پلان.

برای تعیین مقادیر بهینه‌ی نسبت جرم و فرکانس و میرایی روش‌های مختلفی از جمله بهینه‌سازی با کمک الگوریتم‌های هنریک یا میانگین مربع پاسخ<sup>[۷]</sup> به کار گرفته شده است. براساس نتایج تحلیلی در تحقیقات انجام شده با موضوع<sup>[۸]</sup> میراگر

جدول ۲. مقایسه زمان تناوب مودهای ساختمان‌های بدون میراگر و با میراگر متقارن (ثانیه).

e.c.c.=٪۳۰ (۳,۶m)	e.c.c.=٪۲۰ (۲,۴m)	e.c.c.=٪۱۰ (۱,۲m)	e.c.c.=٪۰ (symm.)	خروج از مرکز بست سازه	مود شماره
بدون میراگر با میراگر					
٪,۷۵۹	٪,۶۹۱	٪,۷۰۹	٪,۶۳۹	٪,۶۷	٪,۵۹۴
٪,۶۶	٪,۴۷۸	٪,۶۰۴	٪,۴۷۹	٪,۵۵۲	٪,۴۷۹
٪,۴۷۸	٪,۳۰۵	٪,۴۷۹	٪,۳۶	٪,۴۷۹	٪,۳۹
٪,۳۰۳	٪,۲۰۴	٪,۳۵۸	٪,۱۹	٪,۳۸۹	٪,۱۷۹
٪,۲۰۴	٪,۱۲۳	٪,۱۹	٪,۱۲۳	٪,۱۷۹	٪,۱۲۳
٪,۱۲۳	٪,۱۰۹	٪,۱۲۳	٪,۱۰۶	٪,۱۲۳	٪,۱۱۲
٪,۱۰۹	٪,۰۸۸	٪,۱۰۶	٪,۱	٪,۱۱۲	٪,۰۹۶
٪,۰۸۸	٪,۰۵۵	٪,۱	٪,۰۵۵	٪,۰۹۶	٪,۰۵۶
٪,۰۵۵	٪,۰۴۵	٪,۰۵۵	٪,۰۵۳	٪,۰۵۶	٪,۰۵۵
٪,۰۴۵	-	٪,۰۵۳	-	٪,۰۵۵	٪,۰۵۳
				-	٪,۰۵۳

جدول ۳. مقایسه ضرایب مشارکت مودی ساختمان‌های بدون میراگر و با میراگر متقارن در جهت Y.

e.c.c.=٪۳۰ (۳,۶m)	e.c.c.=٪۲۰ (۲,۴m)	e.c.c.=٪۱۰ (۱,۲m)	e.c.c.=٪۰ (symm.)	خروج از مرکز بست سازه	مود شماره
بدون میراگر با میراگر					
-۸۶	-۱۲۲	۸۸	۱۲۲	۹۲	۱۲۶
۸۹	۰	۸۷	۰	-۸۹	۰
۰	-۴۶	۰	-۴۴	۰	-۳۰
-۴۶	-۴۲	-۴۵	۴۴	-۳۱	-۴۶
-۴۲	۰	-۴۴	۰	-۴۶	۰
۰	۲۷	۰	-۲۴	۱۱	۴۷
۲۷	-۱۰	-۲۴	-۱۴	۱۱	۲۴
-۱۰	۰	-۱۴	۰	۲۲	-۲۵
۰	۶	۰	-۶	۴	۰
-۶	-	-۶	-	۰	-
				-	۱۰

ملک این بررسی‌ها، میانگین باسخن‌های حاصل از هفت شتاب‌نگاشت بوده است. از آنجا که مرکز جرم کل ساختمان‌های نامتقارن بر روی محور x و در جهت مشب特 آن تغییر می‌کند، زلزله‌ها در امتداد y و عمود بر محور x وارد شدند.

### چگونگی بررسی‌ها

پس از تعیین جرم، سختی و میرابی کل سیستم میراگر جرمی تنظیمی منفرد اولیه، به منظور تعیین بهترین محل جرم ( $m_d$ ) و بهترین توزیع سختی‌ها و میرابی‌های ( $k_1, k_2, c_1, c_2$ ) یک سلسه تحلیل‌های تاریخچه‌ی زمانی خطی و غیرخطی، با اولویت کاهش بیشترین نسبت تغییر مکان نسبی به شرح زیر انجام شد:

(الف) **حالات‌های M:** محل مرکزهای سختی و میرابی سیستم میراگر روی محوری که از مرکز تقارن (همان مرکز سختی) ساختمان و عمود بر صفحه‌ی دیافراگم می‌گذرد (محور z) ثابت باشند؛ ولی محل جرم سیستم میراگر در موقعیت‌های ۱۰، ۲۰ و ۳۰ درصد بعد بزرگ ساختمان (b) نسبت به این محور و در سمت

نمی‌کند. چنان‌که در این جدول‌ها دیده می‌شود مودهای اول دچار تغییر شده‌اند و این حاکمی از تأثیر میراگر است.

ساختمان مورد بررسی یک ساختمان سه‌طبقه‌ی فولادی با ابعاد کلی ۸ متر (a) در ۱۲ متر (b) است که ارتفاع هر طبقه‌ی آن ۳ متر می‌باشد (شکل ۱). ساختمان دارای دیافراگم صلب است و سیستم مقاوم آن در برابر نیروهای جانبی در هر دو امتداد متعامد از نوع قاب خمشی فولادی ویژه‌اند. بارهای مرده و زنده برای طبقات به ترتیب برابر ۴۵۰ و ۲۰۰ و برابر پام به ترتیب برابر با ۴۵۰ و ۱۵۰ kN/m<sup>2</sup> در نظر گرفته شدند. این ساختمان در حالت کاملاً متقاضی شد. از آنجا که ناسازه‌ها در مدل در نظر گرفته نشستند، نسبت میرابی ساختمان برای تمام مودهای در محدوده‌ی رفتار خطی و غیرخطی برابر ۲ درصد فرض شد. مدل سازی اثر پیچش براساس نامتقارنی جرم نسبت به سختی ساختمان انجام شد.<sup>[۹]</sup>

در این مطالعه از مؤلفه‌ی طولی (قوی‌تر) هفت زلزله‌ی حوزه‌ی دور که در خاک نوع ۲ رخ داده‌اند، استفاده شد. این زلزله‌ها عبارت‌اند از: چی‌چی ۱۹۹۹ (۵,۴۸۲g)، ایمپریال ولی ۱۹۷۹ (۱۵۵g, ۰,۱۸۴g)، نورتیریج ۱۹۹۴ (۰,۲۸۲g, ۰,۲۴۷g)، لندرز ۱۹۹۲ (۰,۲۸۲g, ۰,۲۳۵g)، فرناندو ۱۹۷۱ (۰,۲۳۵g, ۰,۲۴۷g)، کرکانتی (تفت) ۱۹۵۲ (۰,۱۴۸g). همه‌ی زلزله‌ها به ۰,۳۵g مقیاس شدند.

حرکت جانبی - پیچشی به حرکت جانبی بود، چون دو فنر و دو میرابی وجود دارند، محل مرکز سختی و میرابی سیستم میراگر با توجه به روابط ۳ و ۴ تعیین شدند:

$$(k_1x_1 + k_2x_2) = X_{kd}(k_1 + k_2) \quad (3)$$

$$(c_1x_1 + c_2x_2) = X_{cd}(c_1 + c_2) \quad (4)$$

که در این روابط  $x$  فاصله‌ی سختی (یا میرابی) نام سیستم میراگر از یک محور مبنای فرضی (در این بررسی لبه‌ی سخت) بوده، و  $X_{cd}$  و  $X_{kd}$  به ترتیب مرکز سختی و مرکز میرابی سیستم مذکور هستند. سازه‌ی مورد نظر به صورت با/بدون میراگر تحلیل شد و پاسخ‌ها با هم مقایسه شدند. برای مدل سازی فنرها و میرابی‌ها، و نیز تحلیل مدل از گزینه‌ی SAP2000 Link نرم‌افزار استفاده شد. جرم میراگر در جهت  $y$  ( $m_y$ ) در نظر گرفته شد، و نیز به منظور ایجاد رابط صلب سه گره تشکیل دهنده‌ی این میراگر، از قیدهای مناسب این برنامه استفاده شد. تحلیل گام‌به‌گام انتگرال‌گیری تاریخچه‌ی زمانی غیرخطی براساس پیش‌فرض این برنامه، یعنی با روش H.H.T. و با تکیه بر مفاصل خمیری پیش‌فرض آن انجام شد.

چپ و راست آن (یعنی در سمت منفی و مثبت محور  $x$ ) قرار گیرد. این حالت‌ها  $M^3-, M^2-, M^1-, M^1+, M^2+, M^3+$  نامیده شدند (شکل ۲).

ب) حالت‌های **K**: محل جرم و مرکز میرابی سیستم میراگر روی محور مذکور در بند الف ثابت باشند، ولی مرکز سختی آن روی موقعیت‌های یادشده قرار گیرد. این حالت‌ها  $K^3-, K^2-, K^1-, K^1+, K^2+, K^3+$  نامیده شدند (مشابه شکل ۲ ولی به جای توزیع جرم، توزیع سختی انجام شده است).

ج) حالت‌های **C**: محل جرم و مرکز سختی سیستم میراگر روی محور مذکور در بند الف ثابت باشند، ولی میرابی آن روی موقعیت‌های یادشده قرار گیرد. این حالت‌ها  $C^3-, C^2-, C^1-, C^1+, C^2+, C^3+$  نامیده شدند (مشابه شکل ۲ ولی به جای توزیع جرم، توزیع میرابی انجام شده است).

اگرچه برای تمام ساختمان‌های نامتقابن، حالت میراگر متقابن که در آن محل جرم، مرکز سختی و میرابی سیستم میراگر بر مرکز تقارن ساختمان منطبق است نیز مورد بررسی قرار گرفت.

هدف از بررسی این حالات، مطالعه‌ی امکان کمینه‌کردن اختلاف بین نسبت تغییر مکان نسبی دو لبه‌ی نرم و سخت بود. به عبارت دیگر، بررسی امکان سوق دادن

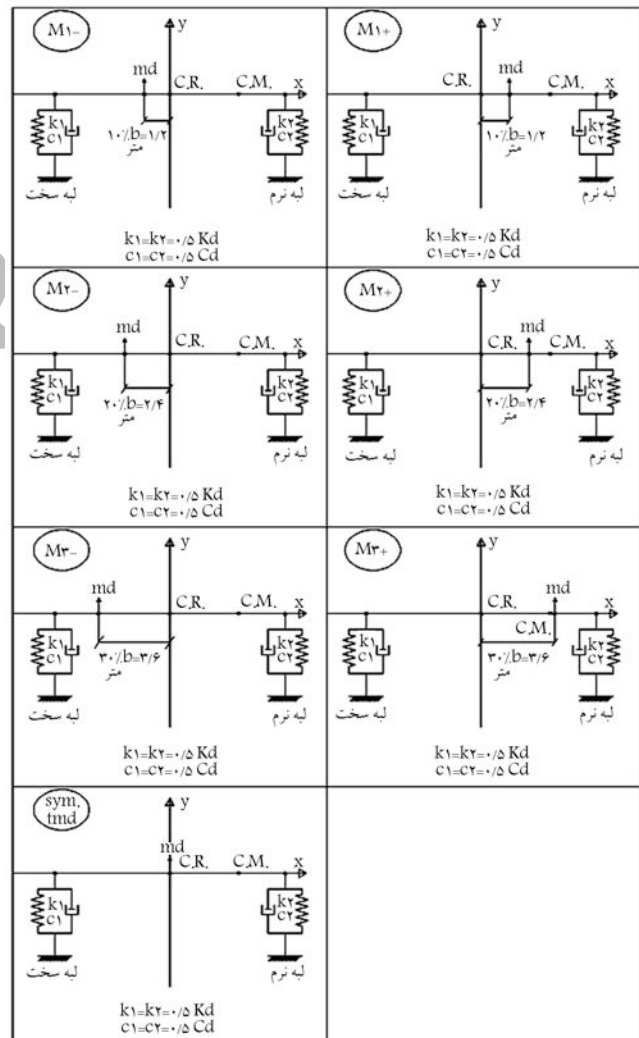
## بررسی مشاهدات و نتایج تحلیل‌ها

### بررسی بیشترین نسبت تغییر مکان نسبی

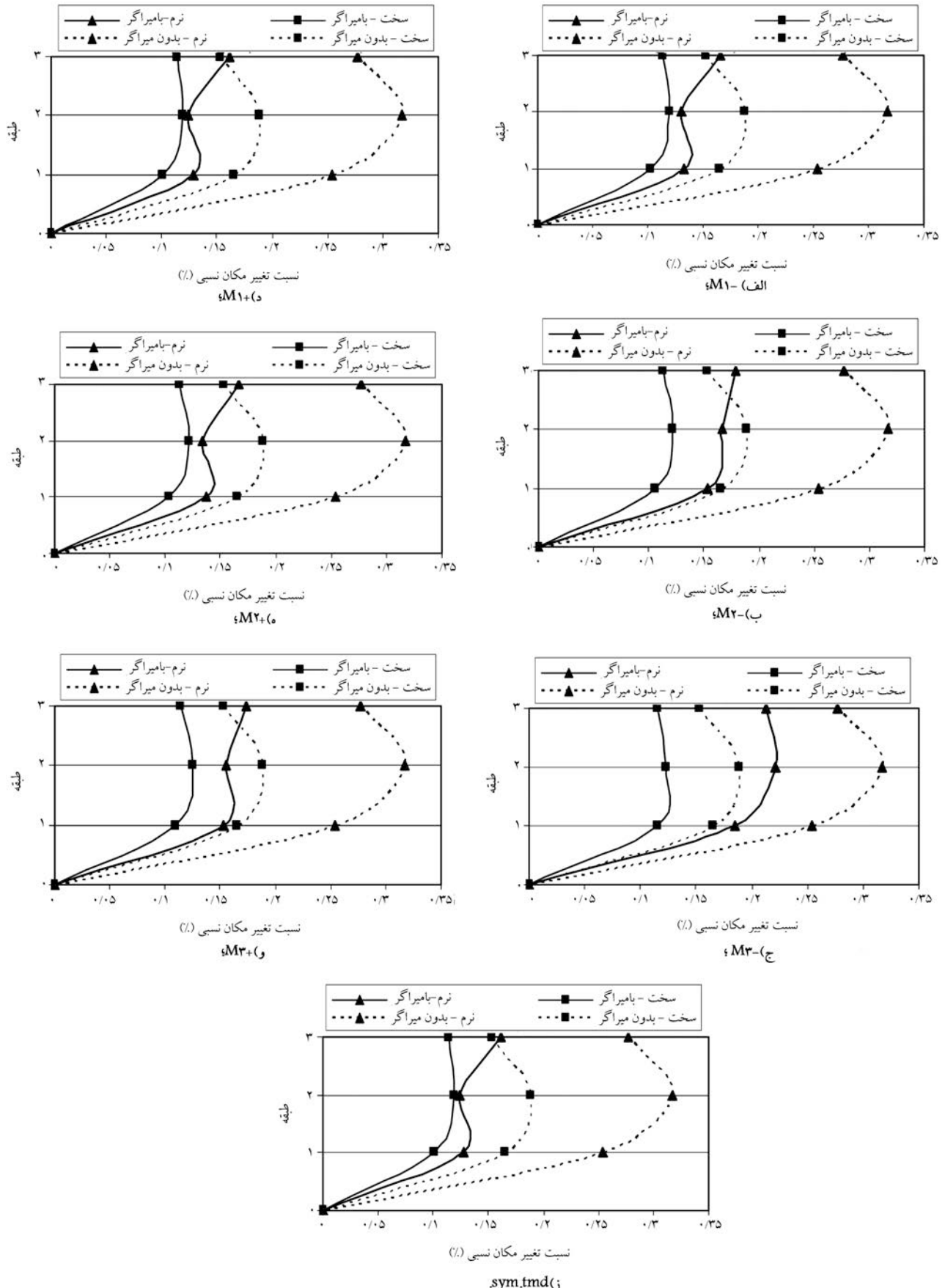
از آنجا که این مشاهدات در محدوده‌ی رفتار خطی و غیرخطی برای ساختمان‌های نامتقابن با خروج از مرکزیت ۲۰ و ۳۰ درصد مشابه ساختان نامتقابن ۱۰ درصد بوده ولی از شدت کمتری برخوردارند (که این نشان‌گر کاهش تأثیر میراگر با افزایش خروج از مرکزیت ساختانها است)، به منظور رعایت اختصار در ادامه فقط نتایج به دست آمده برای ساختمان نامتقابن با خروج از مرکزیت ۱۰ درصد ارائه و ارزیابی می‌شوند.

با توجه به حاصل تحلیل خطی حالت‌های  $M$  (شکل ۳) دیده می‌شود که: اولاً هرچه محل جرم میراگر از مرکز تقارن ساختمان دور می‌شود اختلاف بین بیشترین نسبت تغییر مکان نسبی کاهش یافته‌ی دو لبه‌ی نرم و سخت بیشتر می‌شود (که مطلوب نیست)؛ ثانیاً این اختلاف وقتی محل جرم میراگر به سمت لبه‌ی سخت پیش می‌رود بیشتر از وقتی است که به سمت لبه‌ی نرم نزدیک می‌شود. دلیل اتفاقات یادشده این است که همانند یک ساختان نامتقابن که به دلیل اختلاف بین محل جرم و سختی اش، در آن لبه‌های نرم و سخت پدید می‌آیند، در سیستم میراگر نیز به هم خوردن تقارن محل جرم باعث می‌شود پاسخ کاهش یافته‌ی اولیه به تدریج زیاد شود و از تأثیر کاهنده‌ی میراگر کاسته شود.

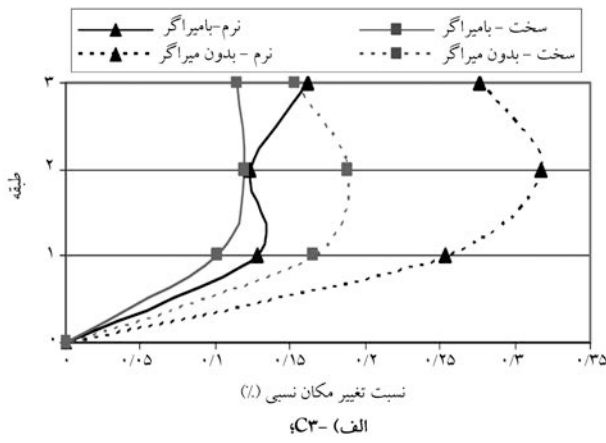
حاصل تحلیل خطی حالت‌های  $K$  که فقط دو حالت آن در شکل ۴ نشان داده شده بیان‌گر آن است که: اولاً هرچه محل مرکز سختی میراگر از مرکز تقارن ساختان دور می‌شود اختلاف بین بیشترین نسبت تغییر مکان نسبی کاهش یافته‌ی دو لبه‌ی نرم و سخت بیشتر می‌شود (که مطلوب نیست)؛ ثانیاً این اختلاف وقتی محل مرکز سختی میراگر به سمت لبه‌ی سخت پیش می‌رود با وقتی که به سمت لبه‌ی نرم نزدیک می‌شود تقریباً یکی است. دلیل اتفاقات یادشده این است که همانند یک ساختان نامتقابن که به دلیل اختلاف بین محل جرم و سختی اش، در آن لبه‌های نرم و سخت پدید می‌آیند، در سیستم میراگر نیز به هم خوردن تقارن محل جرم باعث می‌شود و از تأثیر کاهنده‌ی میراگر کاسته شود. از طرفی باید در نظر داشت هرگاه محل مرکز سختی میراگر به هر لبه نزدیک شود، پاسخ آن لبه به تدریج زیاد می‌شود، و در حالی که پاسخ آن لبه را کم می‌کند



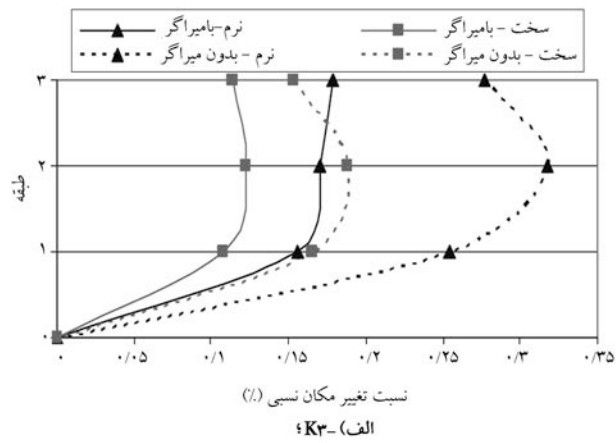
شکل ۲. الگوی شماتیک تغییرات محل جرم سیستم میراگر.



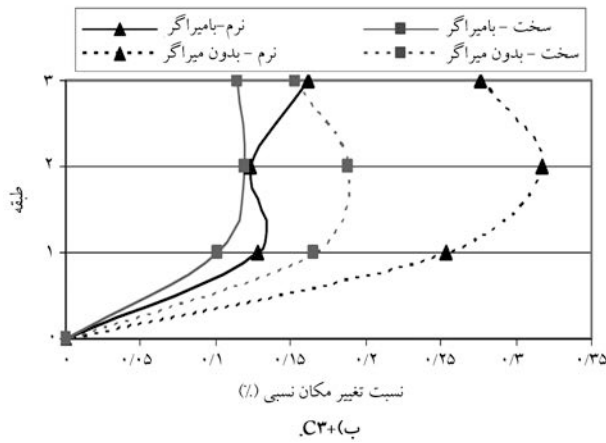
شکل ۳. بیشترین نسبت تغییر مکان نسبی، تحلیل خطی، ساختمان نامتقارن (با خروج از مرکزیت  $10\%$ ).



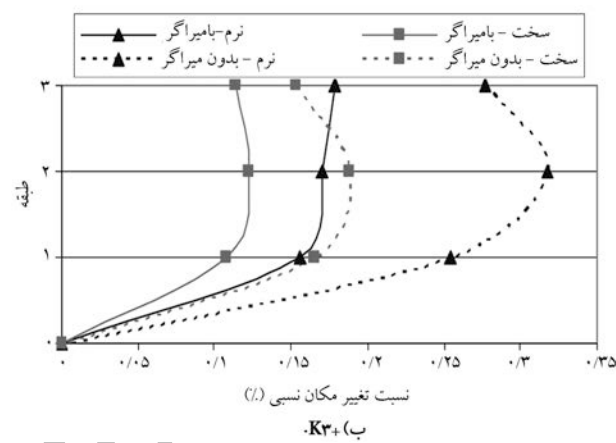
الف) C3-



الف) K3-



ب) C3+



ب) K3+

شکل ۵. بیشترین نسبت تغییر مکان نسبی، تحلیل خطی، ساختمان نامتفارن (با خروج از مرکزیت ۱۰٪).

با نزدیک شدن مرکز سختی به لبه‌ی نرم به نظر می‌رسد تقریباً حالت‌های بهتر از حالت‌های  $K$  عمل کرده‌اند؛ درحالی که دیده می‌شود برای تمام خروج از مرکزیت‌های سختی سیستم میراگر، پاسخ‌ها تقریباً یکی هستند که دلیل آن را می‌توان به کم شدن کارایی میراگر به عنوان ناتنظیمی آن نسبت داد.

در محدوده حالت‌های  $C$ ، همانند رفتار ارجاعی با تغییر مرکز توزیع میراگر سیستم میراگر، تغییر و حساسیتی در پاسخ‌های ساختمان دیده نمی‌شود و همه به یک حالت، که همان حالت میراگر متفارن است، همگرا هستند.

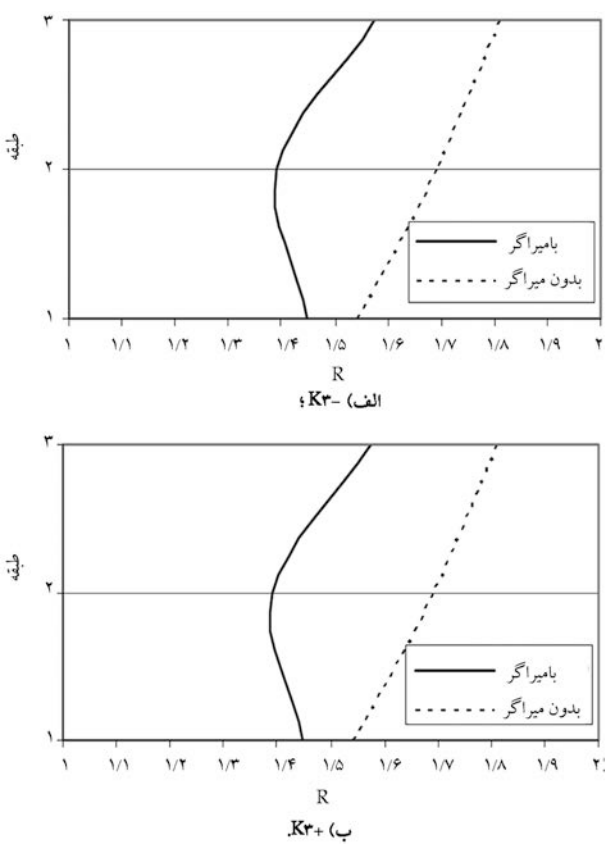
برای شناخت و بررسی بیشتر کارایی این میراگر به‌گونه‌ی دیدگر عمل شد؛ بدین صورت که حاصل نسبت بیشترین نسبت تغییر مکان نسبی لبه‌ی نرم به بیشترین نسبت تغییر مکان نسبی لبه‌ی سخت ( $R$ ) برای تمام حالت‌های مختلف و تمام ساختمان‌های نامتفارن و برای تحلیل‌های خطی و غیرخطی به دست آمد. در حقیقت این نسبت نشان‌دهنده‌ی درصد کاهش پاسخ‌ها است؛ هرچه نسبت  $R$  به سمت عدد ۱ نزدیک شود بدان معناست که آن حالت خوب عمل کرده و توانسته پاسخ‌های دو لبه را به هم نزدیک کنند و اختلاف بین آنها را کمینه کند. در ادامه، نسبت  $R$  برای ساختمان‌ها و حالت‌هایی که پیش‌تر بررسی شدند ارائه می‌شود.

### بررسی نسبت $R$

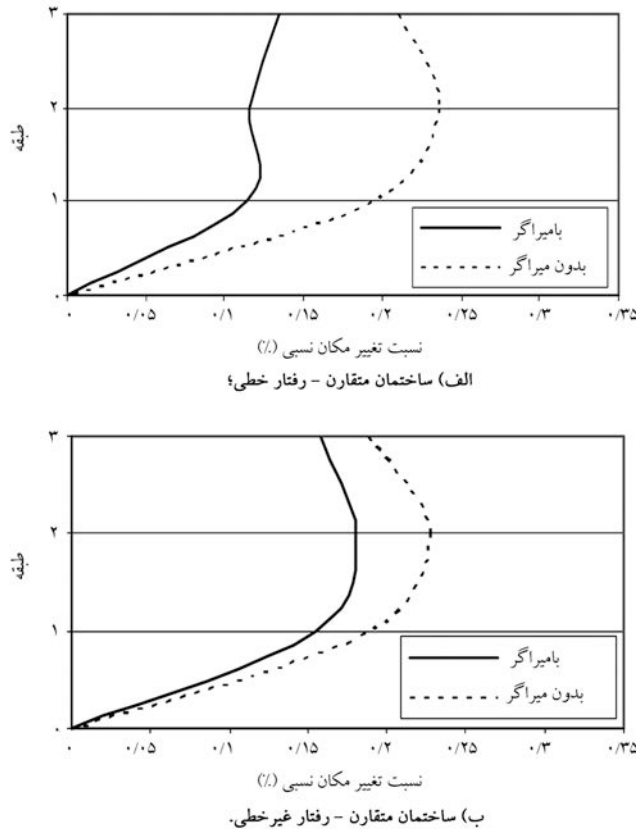
نتایج تحلیل خطی سه حالت از حالت‌های  $M$  در شکل ۶ نشان داده شده است. چنان‌که در این شکل دیده می‌شود هرچه محل جرم میراگر به لبه‌های نرم و سخت

ولی پاسخ کاهش‌یافته به تدریج زیاد می‌شود؛ ثالثاً حالت‌های  $K$  بهتر از حالت‌های  $M$  توانسته‌اند پاسخ‌های کاهش‌یافته را به هم نزدیک کنند. حاصل تحلیل خطی دو حالت از حالت‌های  $C$  در شکل ۵ نشان داده شده است. همان‌طور که دیده می‌شود اختلاف بین بیشترین نسبت تغییر مکان نسبی کاهش‌یافته دو لبه‌ی نرم و سخت، نسبت به تغییرات مرکز میراگر سیستم میراگر حساسیتی نشان نمی‌دهند. ولی همه به یک حالت یعنی سیستم میراگر متفارن همگرا هستند.

در محدوده‌ی رفتار غیرخطی و براساس حاصل تحلیل غیرخطی حالت‌های  $M$  دیده شد که به دلیل تغییر (کاهش) فرکانس و پدیده‌ی ناتنظیمی، کارایی و تأثیر میراگر کم شده و قضاؤت در محدوده تأثیر این حالت‌ها سخت می‌شود. به علاوه از بررسی نمودارهای آنها چنین بوسی‌اید که اولاً هرچه محل جرم میراگر به لبه‌ی سخت نزدیک می‌شود از تأثیر میراگر کاسته می‌شود. در صورتی که برای حالت‌های نزدیک‌شونده به لبه‌ی نرم کارایی تقریباً بدون تغییر است (یعنی این حالت‌ها تقریباً مشابه حالت میراگر متفارن عمل کرده‌اند). دلیل این اتفاقات، چنان‌که بیان شد، این است که در تیجه‌ی نزدیک شدن محل جرم میراگر به هر لبه پاسخ مذکور آن لبه به تدریج زیاد می‌شود (اثر نامطلوب دارد) و چون بخشی از سختی و میراگری بر آن لبه قرار گرفته، باعث می‌شود میراگر حرکت آن لبه را بیدیرد، و در حالی که پاسخ لبه را نسبت به حالت بدون میراگر کم می‌کند، پاسخ کاهش‌یافته اولیه با در نظر گرفتن میراگر به تدریج زیاد شود. در صورتی که برای لبه پاسخ مخالف، به دلیل دور بودن از محل جرم میراگر، اثر نامطلوب میراگر بر آن کم شده و اثر کاهنده‌اش تقریباً ثابت می‌ماند.



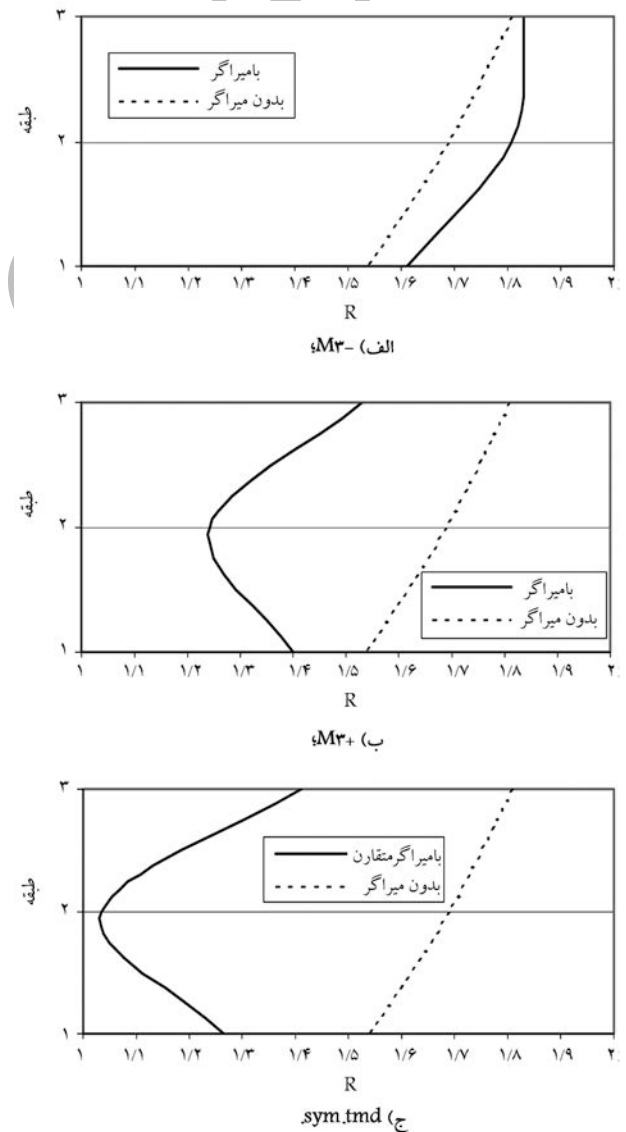
شکل ۷. نسبت  $R$ ، تحلیل خطی، ساختمان نامتقارن (با خروج از مرکزیت  $10\%$ ).



شکل ۸. بیشترین نسبت تغییر مکان نسبی، ساختمان متقاض بدون خروج از مرکزیت.

نزدیک شود اثر میراگر کم می‌شود. حالت‌هایی که در آن جرم میراگر به لبه‌ی نرم نزدیک شده بهتر از حالت‌هایی هستند که جرم میراگر به لبه‌ی سخت نزدیک شده است. به طور کلی حالت میراگر متقاض مناسب تر و بهتر از بقیه‌ی حالت‌ها بوده است. با توجه به نتایج حاصل از تحلیل خطی حالت‌های  $K$  (شکل ۷)، می‌توان گفت هرچه مرکز سختی میراگر به لبه‌های نرم و سخت نزدیک شود (از مرکز متقاض ساختمان دور شود) اثر میراگر کم می‌شود. این حالت‌ها هنگامی که مرکز سختی به سمت لبه‌ی سخت نزدیک شود بهتر از حالت‌ها به نظر می‌رسد. به طور کلی حالت میراگر متقاض مناسب تر و بهتر از بقیه‌ی حالت‌ها با نظر می‌رسد. برای نتایج حاصل از تحلیل خطی حالت‌های  $C$  همانند شکل‌های قبلی با تغییر مرکز میراگر تغییری در پاسخ‌ها ایجاد نشده و همه به حالت میراگر متقاض همگرا هستند.

در محدوده‌ی غیرخطی نیز می‌توان دریافت که خروج از مرکزیت جرم یا مرکز سختی یا مرکز میراگر سیستم میراگر یادشده اثر زیادی در کاهش پاسخ‌ها ندارد، به‌ویژه هنگامی که جرم میراگر یا مرکز سختی آن به لبه‌ی سخت نزدیک می‌شوند.



شکل ۶. نسبت  $R$ ، تحلیل خطی، ساختمان نامتقارن (با خروج از مرکزیت  $10\%$ ).

اثر میراگر بسیار کم شده و حتی از بین نرم بود. به طور کلی حالت میراگر متقارن مناسب تر و بهتر از بقیه حالت ها بوده است.

### ساختمان متقارن بدون خروج از مرکزیت

با توجه به این که در این ساختمان هیچ خروج از مرکزی و نیز لبه های نرم و سختی وجود ندارند، فقط حالت میراگر متقارن بر این ساختمان قرار داده شد که نتایج آن برای محدوده رفتار خطی و غیر خطی در شکل ۸ نشان داده است. چنان که دیده می شود ساختمان فقط حرکت جانبی دارد و سیستم میراگر پیشنهادی در رفتار خطی به خوبی توانسته حرکت جانبی را کم کند. در محدوده رفتار غیرخطی به دلیل تغییر فرکانس و ناتنظیمی میراگر به شدت از اثر آن کاسته شده است.

این اثر عموماً با در نظر گرفتن تأثیرات جرم و سختی سیستم میراگر قابل توجیه است. مثلاً در حالت های بررسی  $M$  اگر جرم میراگر به سمت لبه نرم نزدیک شود، اثر اینرسی جرم میراگر باعث کم شدن اثر میراگر می شود. به عنوان مثال، اگر

### نتیجه گیری

با توجه به آنچه که در قسمت های پیشین بیان شد می توان گفت سیستم میراگر جرمی تنظیمی پیشنهادی توانایی خوبی در کاهش پاسخ های مورد بررسی، به ویژه لبه نرم آن هم عموماً در محدوده رفتار خطی، دارد. از طرفی بر هم زدن متقارن ساختاری این میراگر نمی تواند کمک شایانی به کاهش پیشتر پاسخ های مورد بررسی کند؛ به عبارت دیگر حالت میراگر متقارن انتخابی مناسب برای این میراگر خواهد بود.

### پانوشت

1. mean-square response
2. tuned mass damper

### منابع

1. Jangid, R.S. and Datta, T.K. "Performance of multiple tuned mass dampers for torsionally coupled system", *Earthquake Engineering and Structural Dynamics*, **26**, pp. 307-317 (1997).
2. Lin, C.C.; Ueng, J.M. and Huang, T.C. "Seismic response reduction of irregular buildings using passive tuned mass dampers", *Engineering Structures*, **22**, pp. 513-524 (1999).
3. Singh, Mahendra P.; Singh, Sarjeet and Moreschi, Luis M. "Tuned mass dampers for response control of torsional buildings", *Earthquake Engineering and Structural Dynamics*, **31**, pp. 749-769 (2002).
4. Ahlawat, A.S. and Ramaswamy, A. "Multiobjective optimal absorber system for torsionally coupled seismically

excited structures", *Engineering Structures*, **25**, pp. 941-950 (2003).

5. Gholami Rad, F., *Improving the Building Dynamic Responses By Means of Roof Isolation System*, Thesis Advisor, Nateghi Elahi, F., Tehran South Branch of Islamic Azad University, Thesis N. T456, (1383) (In Persian).
6. Javdian Arzaghi, S., *Performance Evaluation of Tuned Mass Damper to Control the Seismic Behavior of Three Dimensional Models*, Thesis Advisor: Rahimzade R., F., Sharif University, Thesis N. 09-36124, (1384) (In Persian).
7. Wang, J.F. and Lin, C.C. "Seismic performance of multiple tuned mass dampers for soil-irregular building interaction systems", *International Journal of Solids and Structures*, **42**, pp. 5536-54 (2005).
8. Li, C. and Qu, W. "Optimum properties of multiple tuned mass dampers of translational and torsional response of structures to ground acceleration", *Engineering Structures*, **28**, pp. 472-497 (2006).
9. Mahmoodi, A.H., *Reduction of Torsional Responses of Asymmetric Buildings Using Tuned Mass Dampers*, Thesis Advisor: Sarvghad Moghadam, A., Tehran South Branch of Islamic Azad University, Thesis N. T692, (1386) (In Persian).